

# Slapově buzené teplotní nestability: vliv na obyvatelnost exo-Zemí

Marie Běhounková, Gabiël Tobie, Gaël Choblet, Ondřej Čadek

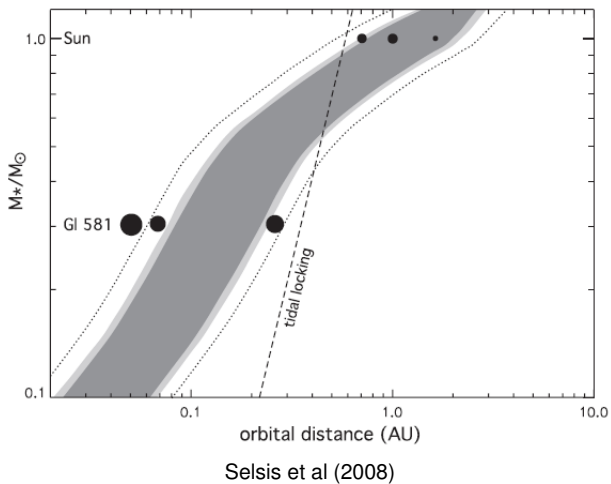
2.3.2011

# Motivace

- detekce super-Zemí s nízkou hmotností (<http://exoplanets.org/>, <http://exoplanet.eu/>)
  - Gl 581 e -  $M = 1.94M_{\oplus}$ ,  $r = -$
  - Kepler-10 b -  $M = 4.3M_{\oplus}$ ,  $r = 1.42r_{\oplus}$
  - Kepler-11 f -  $M = 2.3M_{\oplus}$ ,  $r = 2.61r_{\oplus}$
- blízká budoucnost - detekce Zemi-podobného tělesa mimo Sluneční soustavu ( $M = M_{\oplus}$ ,  $r = r_{\oplus}$ )
- preference detekce krátkoperiodických planet pro nejproduktivnější detekční techniky (radial velocity, transit search)
- krátkoperiodické planety - vysoká pravděpodobnost rychlého slapového uzamčení, typicky 1:1 nebo 3:2 rezonance (spin-orbit resonance)

- pro hvězdy  $< 0.6M_{\odot}$  uzamčení Zemi-podobného tělesa v obyvatelné zóně (habitable zone) do miliardy let po formaci planety (Selsis et al. 2008, Lammer et al. 2010)
- omezení obyvatelnosti
  - nerovnoměrné rozložení teplot (přísluní a odsluní)
  - multiplanetární systémy
  - dlouhodobé udržování excentrické orbity v důsledku rezonance (mean motion resonance), Dvořák et al. (2010)
  - může způsobit vysokou produkci tepla vlivem slapového zahřívání (např. Mardling & Lin 2004)
  - v některých případech dochází ke globálnímu tavení pláště a k vulkanismu (Barnes et al. 2008, Henning et al. 2009, Barnes et al. 2010) - využití globálních vlastností a škálovacích zákonů

## Motivace

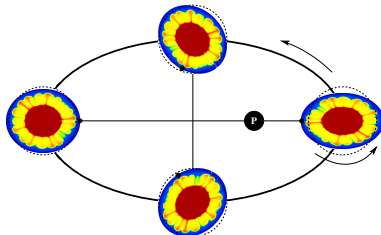


- pro hvězdy  $< 0.6M_{\odot}$  uzamčení Zemi-podobného tělesa v obyvatelné zóně (habitable zone) do miliardy let po formaci planety (Selsis et al. 2008, Lammer et al. 2010)
- omezení obyvatelnosti
  - nerovnoměrné rozložení teplot (přísluní a odsluní)
  - multiplanetární systémy
  - dlouhodobé udržování excentrické orbity v důsledku rezonance (mean motion resonance), Dvořák et al. (2010)
  - může způsobit vysokou produkci tepla vlivem slapového zahřívání (např. Mardling & Lin 2004)
  - v některých případech dochází ke globálnímu tavení pláště a k vulkanismu (Barnes et al. 2008, Henning et al. 2009, Barnes et al. 2010) - využití globálních vlastností a škálovacích zákonů

- zkoumání citlivosti Zemi-podobné planety na slapové zahřívání změnou planetárních i orbitálních vlastností
  - spin-orbitální rezonance (1:1 a 3:2)
  - perioda oběžné dráhy
  - excentricita
  
  - Rayleighovo číslo a teplotní závislost reologických parametrů (desková tektonika x jednodesková konvekce "stagnant lid")
  - radioaktivní zdroje
- nevysvětlujeme celkovou termální evoluci Zemi-podobné planety
  - nutnost souběžného řešení vývoje orbity a termálního vývoje planety
  - dává smysl pouze pro dobře určené planetární systémy
  - velká variabilita reologických parametrů a radioaktivních zdrojů (akreční historie planety, čas po formaci soustavy, složení mateřské hvězdy)
  - počáteční podmínky

# Metoda

- různé časové skály pro dlouhoperiodické plášťové tečení a slapovou odezvu
- slapová odezva - viskoelastický materiál
- plášťové tečení - viskózní materiál, průměrná slapová disipace jako zdroj objemové energie
- teplotní závislost reologických parametrů obou procesů → vazba



# Viskózní tečení

- $$\eta = A(d, \sigma_{II}) \exp\left(\frac{E^* + pV^*}{RT}\right)$$

- závislost pouze na teplotě:

$$\eta = A \exp\left(\frac{E^*}{RT}\right)$$

- linearizace: Frank-Kamenetského aproximace

$$\eta(T) = \eta_0 \exp\left(-a_{\text{vis}} \frac{T - T_0}{\Delta T}\right)$$

$$a_{\text{vis}} = \frac{E^* \Delta T}{RT_i^2}$$



## Viskoelastická - Boltzmannova teorie a dynamická kompliance

- Boltzmannova lineární teorie

$$\epsilon = \int_{-\infty}^t \dot{\sigma}(\tau) D(t - \tau) d\tau$$

- periodický děj  $\sigma(t) = \sigma_0 \exp(i\omega t)$ , substituce  $\xi = t - \tau$ :

$$\epsilon(t) = i\omega \underbrace{\sigma_0 \exp(i\omega t)}_{\sigma(t)} \int_0^{\infty} \exp(-i\omega\xi) D(\xi) d\xi$$

- dynamická kompliance:

$$D^*(\omega) = \epsilon(t)/\sigma(t) = i\omega \int_0^{\infty} D(\xi) \exp(-i\omega\xi) d\xi = D_1(\omega) + iD_2(\omega)$$

- fáze (posunutí) mezi přiloženým napětím ( $\sigma_0 \exp(i\omega t)$ ) a výslednou deformací ( $\epsilon_0 \exp(i(\omega t + \delta))$ )

$$\tan \delta = \frac{D_2(\omega)}{D_1(\omega)}$$

## Viskoelastická - Boltzmannova teorie a dynamická kompliance

- sinusové zatížení: ztráta energie přes jeden cyklus:

$$\Delta E_{\text{diss}} = \oint_{2\pi/\omega} \sigma(t) \dot{\epsilon}(t) dt = \pi \sigma_0 \epsilon_0 \sin \delta$$

- disipační faktor charakterizující ztrátu energie přes jeden cyklus:

$$Q^{-1} = \frac{\Delta E_{\text{diss}}}{2\pi E_{\text{max}}} = \sin \delta = \frac{D_2(\omega)}{(D_1^2(\omega) + D_2^2(\omega))^{1/2}} \approx \tan \delta = \frac{D_2(\omega)}{D_1(\omega)}$$

- obecné vyjádření dynamické kompliance

$$D^*(\omega) = D_U + \sum_{j=0}^n \frac{\delta D(\tau_j)}{1 + i\omega\tau_j} - \frac{i}{\eta\omega}$$

## Viskoelasticita - laboratorní měření

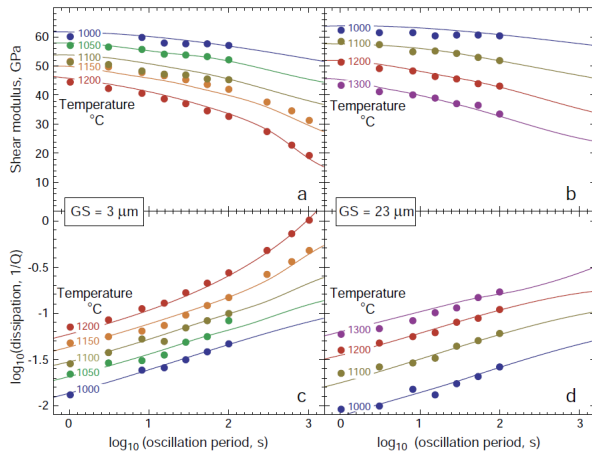
$$J_1(\omega, d, T, P) = J_U(P) \left( 1 + \delta \ln J_U + \frac{\alpha_Q \Delta}{\tau_H^{\alpha_Q} - \tau_L^{\alpha_Q}} \times \int_{\tau_L}^{\tau_H} \frac{\tau^{\alpha_Q-1}}{1 + \omega^2 \tau^2} d\tau \right) \quad (13)$$

and

$$J_2(\omega, d, T, P) = J_U(P) \left( \frac{\omega \alpha_Q \Delta}{\tau_H^{\alpha_Q} - \tau_L^{\alpha_Q}} \int_{\tau_L}^{\tau_H} \frac{\tau^{\alpha_Q}}{1 + \omega^2 \tau^2} d\tau + \frac{1}{\omega \tau_M} \right) \quad (14)$$

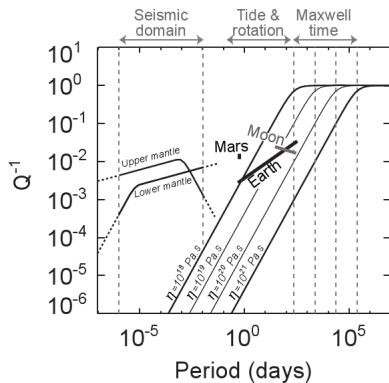
Faul & Jackson 2005

## Viskoelasticita - laboratorní měření



Faul &amp; Jackson 2005

## Viskoelasticita - pozorování



Sotin et al. 2009

## Viskoelasticita - zjednodušení

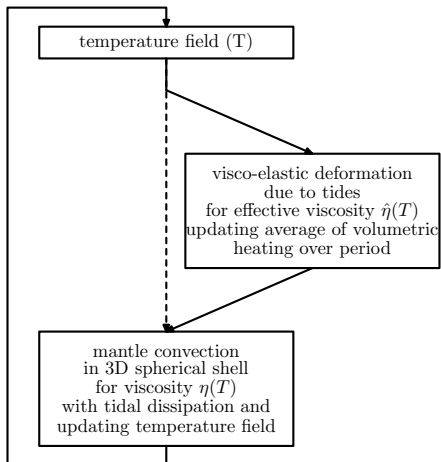
- komplexní reologický popis pro laboratorní experimenty - řešení ve spektrální oblasti
  - zjednodušení Maxwellovská reologie  $D_1 = \frac{1}{\mu}$ ,  $D_2 = \frac{1}{\omega\eta}$ 
    - popis pouze pomocí dvou parametrů, možnost zahrnout 3D variace teploty pro řešení v časové doméně
    - popisuje děje s charakteristickými časy většími než Maxwellovský čas
    - pro charakteristické časy menší než Maxwellovský čas podceňuje disipaci
- definice efektivní viskozity (tak aby byla disipace rovna definovanému  $Q$ )

$$\hat{\eta} = \sqrt{Q^2 - 1} \times \frac{\mu}{\omega}$$

- tato aproximace v platná pouze za předpokladu budící síly na jedné frekvenci
- teplotní závislost (analogicky s teplotní závislostí viskozity)

$$\hat{\eta}(T) = \hat{\eta}_b \exp\left(\hat{a}_{\text{vis}} \frac{T_b - T}{\Delta T}\right)$$

## Schéma



# Rovnice - plášťové tečení

- klasická Boussinesqova aproximace

$$0 = \nabla \cdot \mathbf{v}, \quad (1)$$

$$0 = -\nabla p + \nabla \cdot (\eta(T) (\nabla \mathbf{v} + \nabla^T \mathbf{v})) - \rho_0 \alpha (T - T_0) g_0 \mathbf{e}_r, \quad (2)$$

$$\rho_0 c_p \frac{\partial T}{\partial t} = -\rho_0 c_p \mathbf{v} \cdot \nabla T + k \nabla^2 T + h_i + h_{\text{tide}}, \quad (3)$$

- okrajové podmínky
  - free-slip
  - podmínka na teplotu



## Rovnice - slapová odezva

$$0 = \nabla \cdot \mathbf{u}, \quad (4)$$

$$0 = -\nabla p + \nabla \mathbf{D} + \mathbf{f} \quad (5)$$

- síla

$$\mathbf{f} = \rho (\nabla \phi + \nabla V)$$

- Maxwellovská reologie

$$\frac{\partial \mathbf{D}}{\partial \tau} - \frac{\partial}{\partial \tau} \left( \hat{\mu} \left( \nabla \mathbf{u} + (\nabla \mathbf{u})^T \right) \right) = -\frac{\hat{\mu}}{\hat{\eta}} \mathbf{D} \quad (6)$$

$$\hat{\eta} = \hat{\eta} \exp \left( -\hat{a}_{\text{vis}} \frac{T - T_0}{\Delta T} \right), \quad \hat{\mu} = \hat{\mu}(r)$$

- okrajové podmínky

$$\text{povrch:} \quad (-p\mathbf{l} + \mathbf{D}) \cdot \mathbf{e}_r + u_r \rho_{\text{mantle}} \mathbf{g} = 0$$

$$\text{rozhraní jádro-plášť:} \quad (-p\mathbf{l} + \mathbf{D}) \cdot \mathbf{e}_r - u_r (\rho_{\text{core}} - \rho_{\text{mantle}}) \mathbf{g} = -\rho_{\text{core}} (\phi + V) \mathbf{e}_r$$

- slapové zahřívání

$$H = \frac{1}{T} \int_t^{t+T} \frac{\mathbf{D} : \mathbf{D}}{2\hat{\eta}} d\tau$$

## Slapové potenciály (Kaula, 1964)

SOR

1 : 1

$$\begin{aligned}
 -\frac{1}{2} (n^*)^2 r^2 \left\{ P_{20}(\cos \vartheta) \left[ 3e \cos(n^* \tau) + \frac{9}{2} e^2 \cos(2n^* \tau) + \frac{27}{8} e^3 \cos(n^* t) + \frac{7}{2} e^4 \cos(2n^* t) \right] \right. \\
 - \frac{1}{2} P_{22}(\cos \vartheta) \left[ e \left( 3 \cos(2\varphi) \cos(n^* \tau) + 4 \sin(2\varphi) \sin(n^* \tau) \right) \right. \\
 + \frac{17}{2} e^2 \left( \cos(2\varphi) \cos(2n^* \tau) + \sin(2\varphi) \sin(2n^* \tau) \right) \\
 - \frac{1}{8} e^3 \left( 61 \cos(2\varphi) \cos(n^* \tau) + 62 \sin(2\varphi) \sin(n^* \tau) \right) \\
 \left. \left. - \frac{115}{6} e^4 \left( \cos(2\varphi) \cos(2n^* \tau) + \sin(2\varphi) \sin(2n^* \tau) \right) \right] \right\}
 \end{aligned}$$

3 : 2

$$\begin{aligned}
 -\frac{1}{2} (n^*)^2 r^2 \left\{ P_{20}(\cos \vartheta) \left[ 3e \cos(n^* \tau) + \frac{9}{2} e^2 \cos(2n^* \tau) + \frac{27}{8} e^3 \cos(n^* t) + \frac{7}{2} e^4 \cos(2n^* t) \right] \right. \\
 - \frac{1}{2} P_{22}(\cos \vartheta) \left[ \left( \cos(2\varphi) \cos(n^* \tau) - \sin(2\varphi) \sin(n^* \tau) \right) \right. \\
 - \frac{1}{2} e \left( \cos(2\varphi) \cos(2n^* \tau) - \sin(2\varphi) \sin(2n^* \tau) \right) \\
 + e^2 \left( 6 \cos(2\varphi) \cos(n^* \tau) + 11 \sin(2\varphi) \sin(n^* \tau) \right) \\
 + \frac{1}{16} e^3 \left( \cos(2\varphi) \cos(2n^* \tau) - \sin(2\varphi) \sin(2n^* \tau) \right) \\
 \left. \left. - \frac{1}{48} e^4 \left( 881 \cos(2\varphi) \cos(2n^* \tau) + 959 \sin(\varphi) \sin(2n^* \tau) \right) \right] \right\}
 \end{aligned}$$

# Model

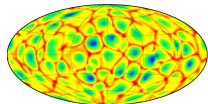
- zkoumání citlivosti Zemi-podobné planety na slapové zahřívání změnou planetárních i orbitálních vlastností
- reologické vlastnosti simulující přenos tepla v Zemi ( $a_{\text{vis}} = 5$ ) a méně efektivní přenos (Venuše, Merkur, Mars:  $a_{\text{vis}} = 10 - 15$ )
- homogenní vnitřní zahřívání konstatní v čase ( $P_{\text{glob}} = 10$  a  $20$  TW)
- počáteční podmínky odpovídající statisticky rovnovážnému stavu pro dané parametry

|   | $Ra$   | $\Delta\eta$ | $h'_{\text{rad}}$ |
|---|--------|--------------|-------------------|
| A | $10^8$ | $\exp(5)$    | 16.6              |
| B | $10^8$ | $\exp(10)$   | 16.6              |
| C | $10^8$ | $\exp(10)$   | 8.3               |
| D | $10^8$ | $\exp(15)$   | 8.3               |
| E | $10^7$ | $\exp(10)$   | 8.3               |

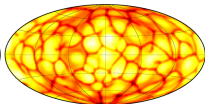
# Parametry

|  | notation                               | value                                       |
|--|--|---|
| <b>physical characteristics and geometry</b> |  |   |
| mantle thickness                             | $d$                                    | 3200 km                                     |
| planet radius                                | $r_t$                                  | 6400 km                                     |
| mantle density                               | $\rho_m$                               | 4500 kg m <sup>-3</sup>                     |
| core density                                 | $\rho_{\text{core}}$                   | 12000 kg m <sup>-3</sup>                    |
| super-adiabatic temperature contrast         | $\Delta T$                             | 2500 K                                      |
| thermal conductivity                         | $k$                                    | 5 W m <sup>-1</sup> K <sup>-1</sup>         |
| heat capacity                                | $c_p$                                  | 1200 J K <sup>-1</sup> kg <sup>-1</sup>     |
| scaling for volumetric heating               | $\frac{k\Delta T}{d^2}$                | $1.2 \times 10^{-9}$ W m <sup>-3</sup>      |
| <b>viscous flow</b>                          |  |   |
| bottom Rayleigh number                       | $Ra$                                   | variable, typically 10 <sup>8</sup>         |
| viscosity parameter                          | $a_{\text{vis}}$                       | 5 – 15                                      |
| uniform internal heating                     | $h_{\text{rad}}$                       | $1 - 2 \times 10^{-8}$ W m <sup>-3</sup>    |
| dimensionless internal heating               | $h'_{\text{rad}}$                      | = 8.3 – 16.6                                |
|  | $h_{\text{rad}} \frac{d^2}{k\Delta T}$ |   |
| <b>visco-elastic response</b>                |  |   |
| orbital period                               | $\tau_O$                               | ∈ (1, 60) days                              |
| eccentricity                                 | $e$                                    | ∈ (0, 0.2)                                  |
| spin-orbit resonance                         |  | 1:1, 3:2                                    |
| shear modulus                                | $\mu$                                  | 200 GPa                                     |
| quality factor on CMB                        | $Q_b$                                  | ∈ (50, 345)                                 |
|  |  | linear interpolation, $Q_b = 350 - 5\tau_O$ |
| effective viscosity                          | $\hat{\eta}$                           |   |
| effective viscosity parameter                | $\hat{a}_{\text{vis}}$                 | 5 – 15                                      |

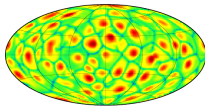
## 3D rozložení teplot a slapového zahřívání

model A, 1:1 SOR,  $e = 0.01$ ,  $\tau_O = 3$  days $t = 0$  Gy,  $P_{\text{rad}} = 20$  TW,  $P_{\text{tide}} = 105$  TW,  $P_{\text{surf}} = 42$  TW,  $P_{\text{CMB}} = 22$  TW $\delta T$  [K] $\log_{10}(h_{\text{tide}} [\text{W}/\text{m}^3])$  $q_{\text{CMB}}$  [mW/m<sup>2</sup>] $q_{\text{surf}}$  [mW/m<sup>2</sup>] $r = 3275$  km $r = 3275$  km

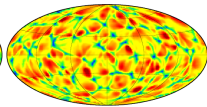
-800 0 800



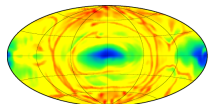
-7.2 -6.6 -6.0 -5.4



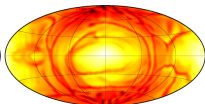
0 200 400



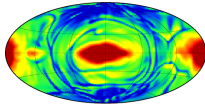
0 75 150

 $t = \Delta t_r$ ,  $P_{\text{rad}} = 20$  TW,  $P_{\text{tide}} = 575$  TW,  $P_{\text{surf}} = 110$  TW,  $P_{\text{CMB}} = 18$  TW $\delta T$  [K] $\log_{10}(h_{\text{tide}} [\text{W}/\text{m}^3])$  $q_{\text{CMB}}$  [mW/m<sup>2</sup>] $q_{\text{surf}}$  [mW/m<sup>2</sup>] $r = 3275$  km $r = 3275$  km

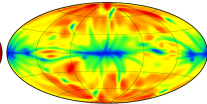
-1400 0 1400



-7.2 -6.3 -5.4



0 200 400

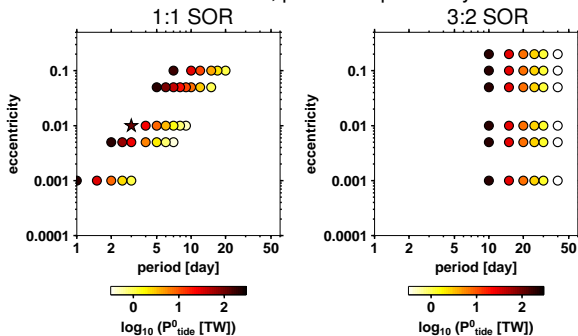


0 200 400

# Globální disipace

- třírozměrné rozložení slapového zahřívání  $h_{\text{tide}}(r, \vartheta, \varphi)$  silně závislé na teplotě, excentricitě, rezonanci
- globální disipace  $P_{\text{tide}} = \int_V h_{\text{tide}}(r, \vartheta, \varphi) dV$  - spojuje 3D výsledky s používanými parametrizacemi, umožňuje prozkoumat větší parametrový prostor

model A, počáteční podmínky



# Globální disipace

- (Zschau 1978, Segatz et al. 1988)

$$P_{\text{tide}} = -\frac{5k_2}{8\pi^2 GR} Q^{-1} \int_0^\tau \int_S \left( \frac{\partial \Theta(R)}{\partial t} \right)^2 dS dt$$

- 1:1 SOR

$$P_{\text{tide}} = -\frac{1}{8} \frac{k_2}{G} (\omega R)^5 \times \left[ Q_\omega^{-1} (84e^2 - 303e^4 + 366e^6) + Q_{2\omega}^{-1} \left( \frac{1815}{2} e^4 - 3847e^6 + \frac{26597}{6} e^8 \right) \right]$$

- 3:2 SOR

$$P_{\text{tide}} = -\frac{1}{8} \frac{k_2}{G} (\omega R)^5 \times \left[ Q_\omega^{-1} \left( 6 - 21e^2 + 501e^4 - \frac{125951}{64} e^6 + \frac{847921}{384} e^8 \right) + Q_{2\omega}^{-1} \left( 3e^2 + \frac{159}{4} e^4 + \frac{4035}{64} e^6 + \frac{49}{2} e^8 \right) \right]$$

# Globální disipace



$$P_{\text{tide}} = A(R, k_2) Q_{\omega}^{-1} \omega^5 \zeta(\mathbf{e}), \quad \zeta(\mathbf{e}) = \zeta_{\omega}(\mathbf{e}) + \frac{Q_{2\omega}^{-1}}{Q_{\omega}^{-1}} \zeta_{2\omega}(\mathbf{e})$$

- 1:1 SOR

$$\zeta(\mathbf{e})_{\text{Maxwell}} = 84e^2 \left( 1 + \frac{201}{112}e^2 - \frac{445}{24}e^4 + \frac{26597}{1008}e^6 \right)$$

- 3:2 SOR

$$\zeta(\mathbf{e})_{\text{Maxwell}} = 6 \left( 1 - \frac{13}{4}e^2 + \frac{1389}{16}e^4 - \frac{247867}{768}e^6 + \frac{852625}{2304}e^8 \right)$$



# Globální disipace vs. 3D výsledky



$$P_{\text{tide}} = A(R, k_2) Q_{\omega}^{-1} \omega^5 \zeta(\mathbf{e}), \quad \zeta(\mathbf{e}) = \zeta_{\omega}(\mathbf{e}) + \frac{Q_{2\omega}^{-1}}{Q_{\omega}^{-1}} \zeta_{2\omega}(\mathbf{e})$$

reologie  $\rightarrow$

$$P_{\text{tide}} = A Q_b^{-1} \exp\left(a_{\text{vis}} \frac{T_e - T_b}{\Delta T}\right) (\omega)^5 \zeta(\mathbf{e})$$

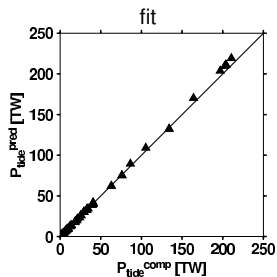
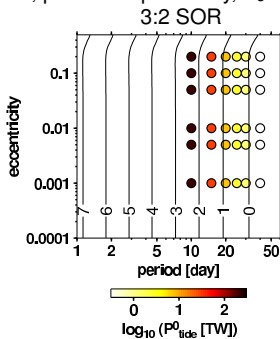
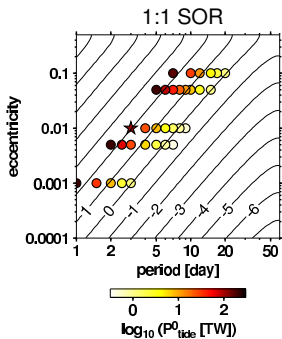
- charakteristická teplota

$$T_e = T_b - \frac{\Delta T}{a_{\text{vis}}} \ln\left(\frac{1}{V} \int_V \exp\left(a_{\text{vis}} \frac{T_b - T(r, \vartheta, \varphi)}{\Delta T}\right) dV\right)$$

- pro dané teplotní pole,  $A$  jediný neznámý parametr (lze získat fitem z 3D výsledků,  $A = 3.9 \times 10^{42} \text{ W s}^5$ )

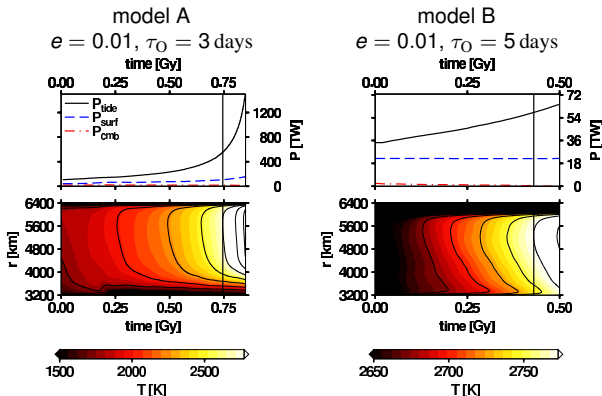
# Globální disipace vs. 3D výsledky

model A, počáteční podmínky,  $T_e = 0.6$



# Zpětná vazba a termální nestability

- silná zpětná vazba mezi teplotou a slapovým zahříváním díky teplotně závislé reologii
- časová škála pro vznik nestabilit (runaway timescale)  $\Delta t_r$  - čas potřebný k tomu, aby průměrné teplota v jakékoliv vrstvě byla vyšší než teplota na rozhraní jádro-plášť (jiné definice???)

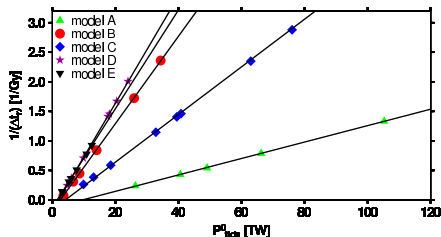


## Škálování

- Škálování časové škály:

$$\frac{1}{\Delta t_r} = \alpha + \beta P_{\text{tide}}^0$$

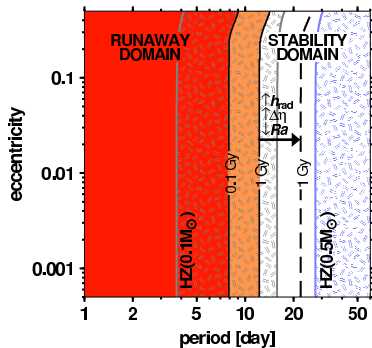
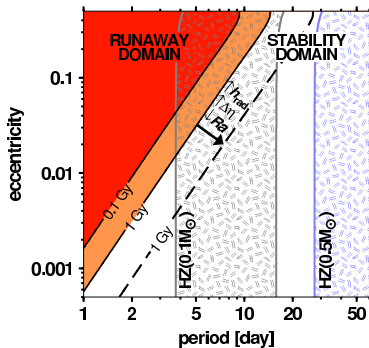
- směrnice  $\beta$  převážně určena počáteční teplotou
- parametr  $\alpha$  komplexní chování (závislost na charakteristické teplotě a efektivnosti přenosu tepla)



|   | $Ra$   | $\Delta\eta$ | $h'_{\text{rad}}$ | $T_e^0$ | parametrizace $1/\Delta t_r$                      |
|---|--------|--------------|-------------------|---------|---|
| A | $10^8$ | $\exp(5)$    | 16.6              | 0.60    | $1/\Delta t_r = -0.133 + 0.0139P_{\text{tide}}^0$ |
| B | $10^8$ | $\exp(10)$   | 16.6              | 0.94    | $1/\Delta t_r = -0.185 + 0.0739P_{\text{tide}}^0$ |
| C | $10^8$ | $\exp(10)$   | 8.3               | 0.84    | $1/\Delta t_r = -0.165 + 0.0403P_{\text{tide}}^0$ |
| D | $10^8$ | $\exp(15)$   | 8.3               | 0.93    | $1/\Delta t_r = -0.176 + 0.0907P_{\text{tide}}^0$ |
| E | $10^7$ | $\exp(10)$   | 8.3               | 0.92    | $1/\Delta t_r = -0.123 + 0.0834P_{\text{tide}}^0$ |

# Obyvatelnost

- obyvatelné zóny (Selsis et al. 2007), závislost na excentricitě (Barnes et al. 2009)
- využití škálování počáteční slapové disipace a škálování časové škály



# Závěr

- směrnice  $\beta$  podobná pro experimenty s podobnými počátečními podmínkami
- režim podobný deskové tektonice - u Země podobných těles v obyvatelné zóně (hvězdy s hmotností  $0.1 M_{\odot}$ ) se objevují termální nestability pro rezonanci 1:1 a pro dostatečně velkou excentricitu ( $e > 0.02$  a 4 days,  $e > 0.2$  a 10 days).
- méně efektivní režimy přenosu tepla - termální nestability vlivem slapů lze pozorovat pro nižší excentricity a vyšší doby oběhu
- rezonance 3:2 - termální nestability jsou téměř nezávislé na excentricitě a objevují se pro oběžné doby nižší než 12 days pro efektivní přenos tepla a pro 22 days pro jednodeskové planety.
- slapové zahřívání není významné pro hvězdy hmotnější  $0.5 M_{\odot}$  nezávisle na režimu přenosu tepla

# Budoucí plány

- škálování

- škálování pro složitější reologie (tlaková závislost, Arrheniův zákon - lze definovat charakteristickou teplotu a charakteristický tlak?)
- nalezení formule pro parametry  $\alpha$  a  $\beta$  v závislosti na Rayleighově čísle, teplotní závislosti a radioaktivních zdrojích pro libovolné počáteční podmínky

$$\frac{\partial T}{\partial t} = \nabla^2 T - \mathbf{v} \cdot \nabla T + h_{\text{rad}} + h_{\text{tide}}$$

- pomocí průměrování přes objem, Gaussův teorém a nestlačitelnost lze přepsat:

$$\frac{V \partial T_a}{\partial t} = -P_{\text{surf}} + P_{\text{CMB}} + P_{\text{rad}} + P_{\text{tide}}$$

- časová integrace:

$$\frac{V \Delta T_a}{\Delta t_r} = -P_{\text{flux}}(0) \bar{f} + P_{\text{rad}} + P_{\text{tide}}(0) \bar{g}$$

- počáteční podmínky:  $P_{\text{rad}} = P_{\text{surf}}(0) - P_{\text{CMB}}(0) = P_{\text{flux}}(0)$

$$\frac{V \Delta T_a}{\Delta t_r} = P_{\text{flux}}(0)(1 - \bar{f}) + P_{\text{tide}}(0, T_e) \bar{g}, \quad T_a \neq T_e$$

$$\frac{1}{\Delta t_r} \propto \alpha + \beta P_{\text{tide}}(0), \quad \alpha = \frac{-P_{\text{flux}}(0)(\bar{f} - 1)}{V \Delta T_a}, \quad \beta = \frac{\bar{g}}{V \Delta T_a}$$

## Budoucí plány

- 

$$\frac{1}{\Delta t_r} \propto \alpha + \beta P_{\text{tide}}(0), \quad \alpha = \frac{-P_{\text{flux}}(0)(\bar{f} - 1)}{V\Delta T_a}, \quad \beta = \frac{\bar{g}}{V\Delta T_a}$$

- pokud  $P_{\text{surf}} \gg P_{\text{CMB}}$  a jedná se o jednodeskovou konvekci ( $a_{\text{vis}}$  vysoké)

$$\alpha = \frac{P_{\text{surf}}(0)(1 - \bar{f})}{\Delta T_a}$$

$$P_{\text{surf}}(0) \propto S_p \frac{k\Delta T}{d} a_{\text{vis}}^{-4/3} Ra_b^{1/3}$$

- pokud  $P_{\text{surf}} \gg P_{\text{CMB}}$  a dojde k rychlému přehřátí ( $P_{\text{surf}} = \text{konst}$ )  $\alpha = 0$
- škálování pro parametry  $\bar{f}$ ,  $\bar{g}$ ,  $\Delta T_a$



# Budoucí plány

- desková tektonika na krátkoperiodických planetách
  - napětově závislá reologie
  - pro planety se velkou slapovou zátěží - napětí vlivem slapů může být větší než napětí díky plášťové konvekci, možnost nastartovat deskovou tektoniku?, nerovnoměrně rozložená desková tektonika? nelineární reologie pro viskoelasticitu?
- nerovnoměrné zahřívání povrchu
  - rovnováha energie (energetická rovnováha na povrchu, nerovnoměrné rozložení intenzity slunečního záření)

